# Diseño de Elementos Mecánicos ME-5600

Capítulo 4
Deflexión y Rigidez

Alejandro Ortiz Bernardin

www.cec.uchile.cl/~aortizb

Departamento de Ingeniería Mecánica
Universidad de Chile



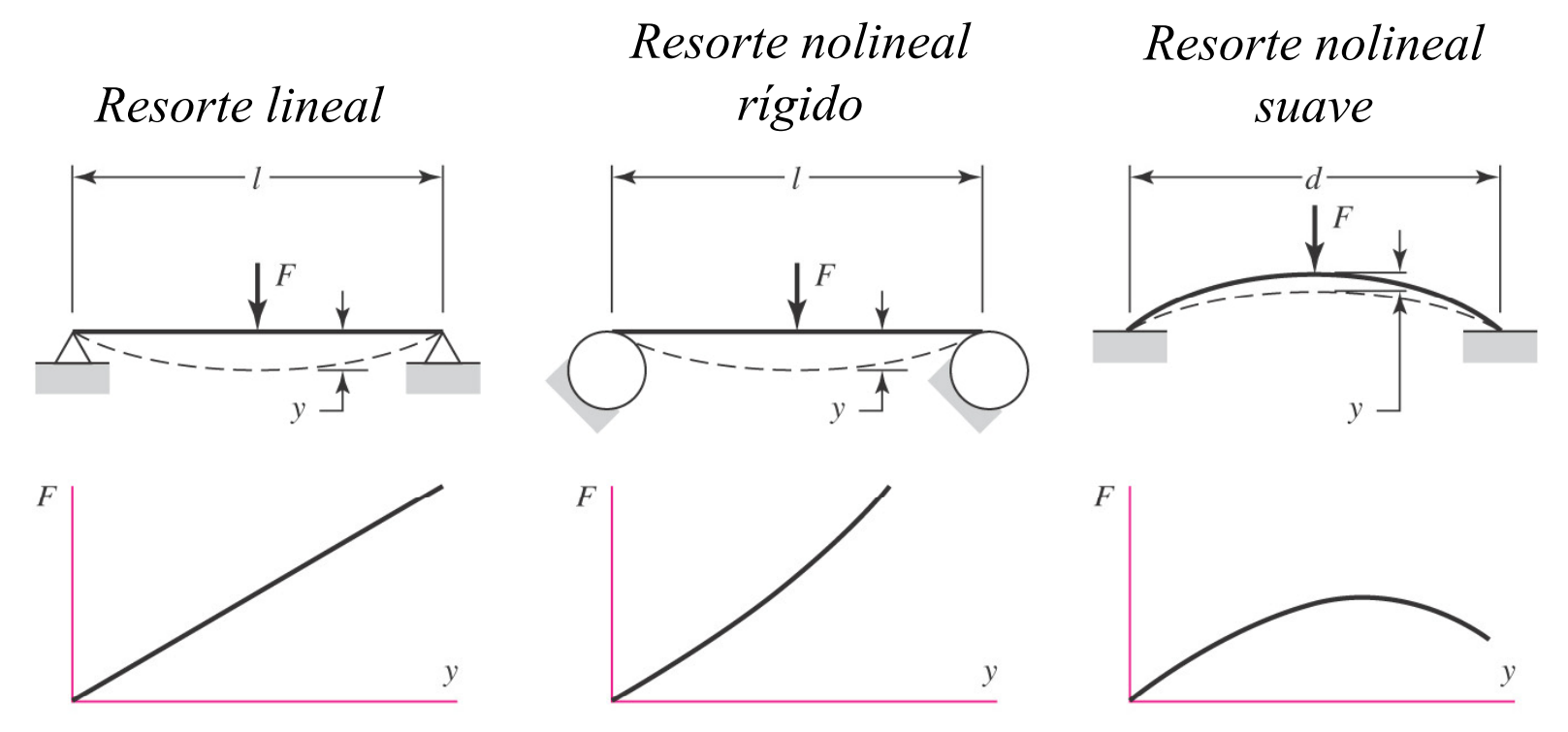
#### **Contenidos del Capítulo**

- Constantes de Resorte
- Deflexión por Tensión, Compresión y Torsión
- Deflexión por Flexión
- Métodos para Calcular Deflexión en Vigas
- Deflexión de Elementos Curvos
- Columnas Largas con Carga Centrada
- Columnas de Longitud Intermedia con Carga Centrada
- Columnas con Carga Excéntrica
- Elementos Cortos Sometidos a Compresión
- Estabilidad Elástica



#### **Constantes de Resorte**

- Elasticidad propiedad de un material que permite restablecer su configuración original después de haberse deformado
- Resorte elemento mecánico que genera una fuerza cuando éste es deformado





## **Constantes de Resorte (Cont.)**

Constante de resorte

$$k(y) = \lim_{\Delta y \to 0} \frac{\Delta F}{\Delta y} = \frac{dF}{dy}$$

Para resortes lineales, k es una constante

$$k = \frac{F}{y}$$

## Deflexión por Tensión, Compresión y Torsión

 Extensión o contracción de una barra uniforme en tensión o compresión pura

$$\delta = \frac{Fl}{AE} \quad , \quad k = \frac{AE}{l}$$

 Deflexión angular (en radianes) de una barra uniforme sólida o tubular sujeta a momento torsor T

$$\theta = \frac{Tl}{GJ}$$
 ;  $k = \frac{T}{\theta} = \frac{GJ}{l}$ 

## **Deflexión por Flexión**

Curvatura de una viga sometida a un momento flector M

$$\frac{1}{\rho} = \frac{M}{EI}$$

Curvatura de una curva plana

$$\frac{1}{\rho} = \frac{d^2y/dx^2}{[1 + (dy/dx)^2]^{3/2}}$$

Pendiente de la viga en un punto x

$$\theta = \frac{dy}{dx}$$

- Si la pendiente es muy pequeña, el denominador en la ecuación de la curvatura se aproxima a la unidad
- Eliminando el radio de curvatura, para vigas con pendientes pequeñas,

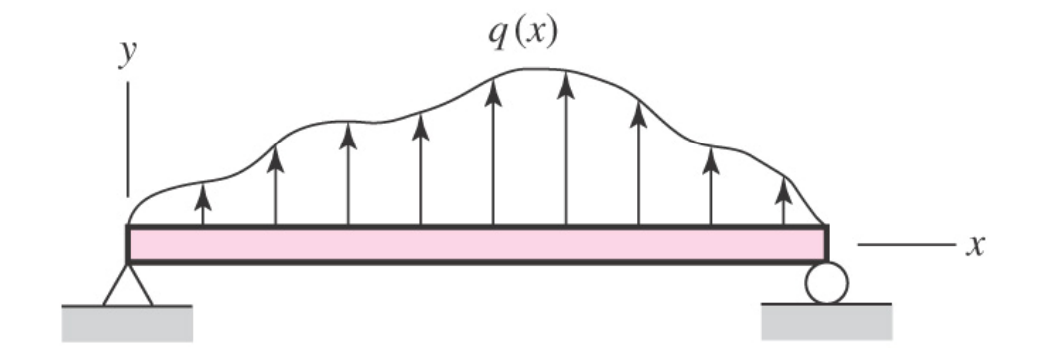
$$\frac{M}{EI} = \frac{d^2y}{dx^2}$$

# Deflexión por Flexión (Cont.)

Recordando que

$$V = \frac{dM}{dx}$$

$$\frac{dV}{dx} = \frac{d^2M}{dx^2} = q$$



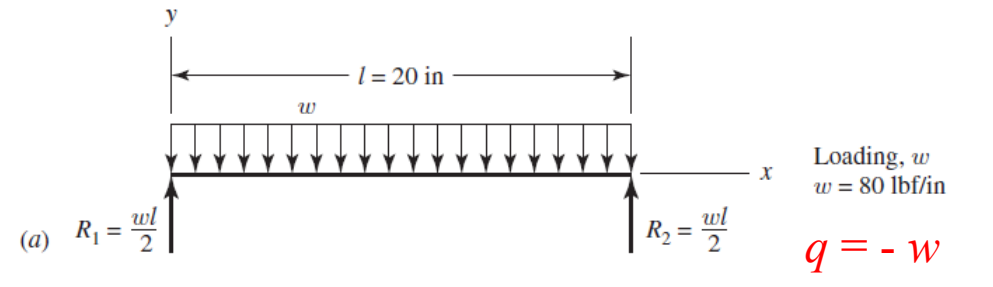
Diferenciando sucesivamente

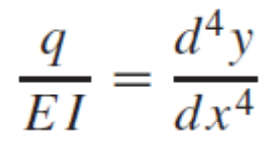
$$\frac{M}{EI} = \frac{d^2y}{dx^2}$$

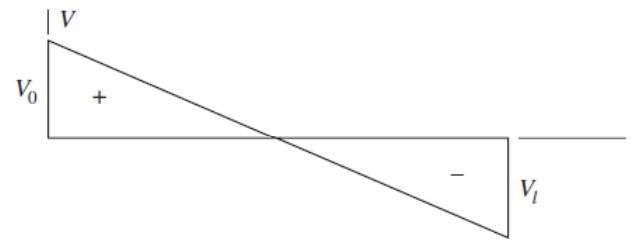
$$\frac{V}{EI} = \frac{d^3y}{dx^3}$$

$$\frac{q}{EI} = \frac{d^4y}{dx^4}$$

# Deflexión por Flexión (Cont.)



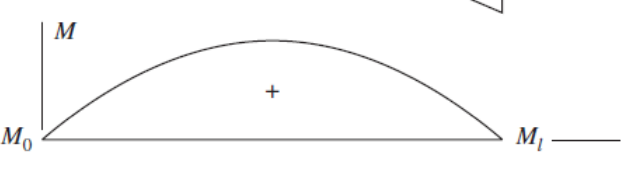




Shear, 
$$V$$
  
 $V_0 = +800 \text{ lbf}$   
 $V_l = -800 \text{ lbf}$ 

$$\frac{V}{EI} = \frac{d^3y}{dx^3}$$

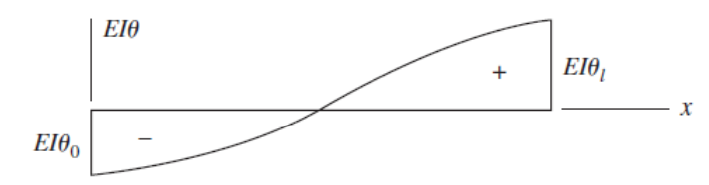
(c)



Moment, 
$$M$$
 $M_0 = M_I = 0$ 

$$\frac{M}{EI} = \frac{d^2y}{dx^2}$$

(e)



Slope, 
$$EI\theta$$
  
 $\theta_{U2} = 0$ 

$$\theta = \frac{dy}{dx}$$



Deflection, 
$$EIy$$
  
 $y_0 = y_l = 0$ 

$$y = f(x)$$

#### Métodos para Calcular Deflexión en Vigas

- Algunos métodos para resolver el problema de integración de las ecuaciones de deflexión en vigas
  - Superposición
  - Método de área-momento
  - Integración numérica
- Otros métodos basados en enfoques alternativos
  - Métodos de energía (ej. Teorema de Castigliano)
  - Método de Elemento Finito

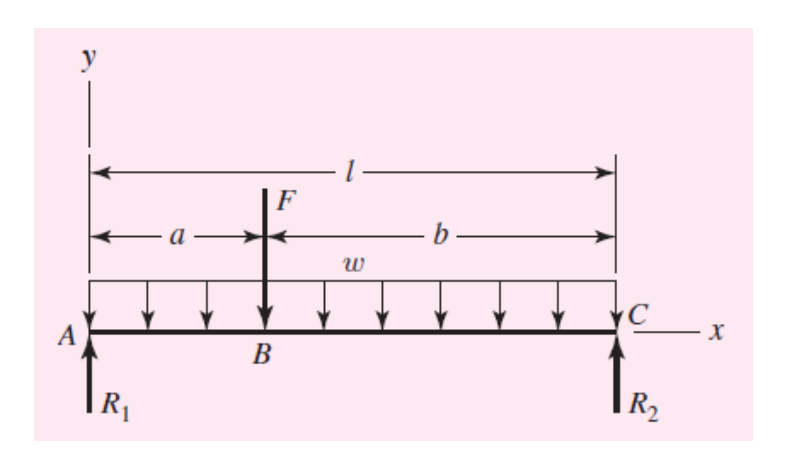


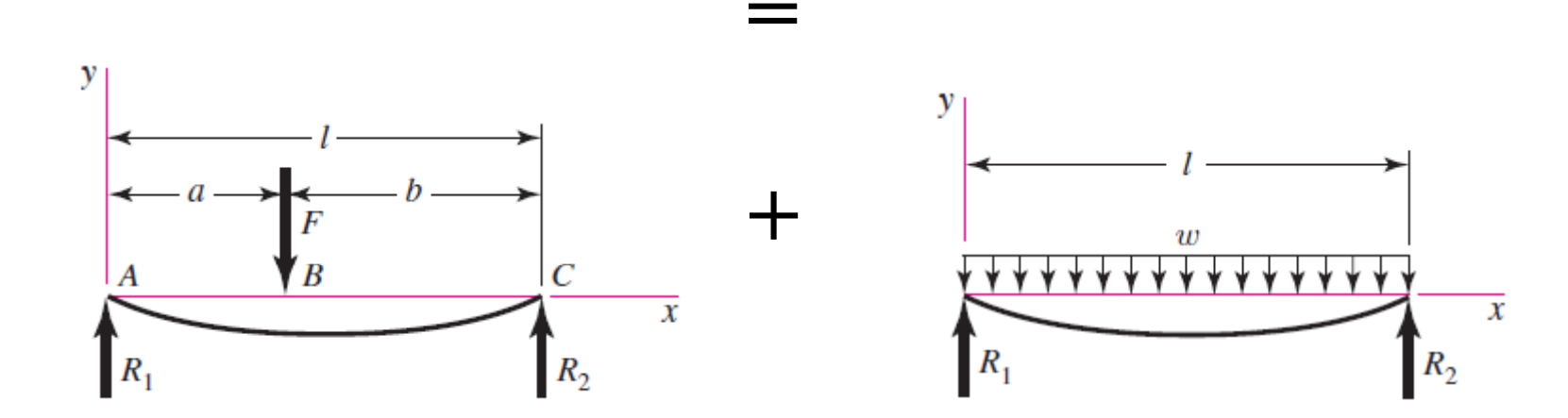
#### Deflexión de Vigas por Superposición

- El problema se separa en casos de carga simple (por ejemplo, casos de carga cuya solución es conocida)
- Se determinan los efectos de cada carga separadamente para luego sumarlos en el resultado final (superposición)
- Resultados para casos de carga simple con condiciones de contorno típicas están disponibles en la Tabla A-9 del Shigley.
   También disponibles en el Roark´s Formulas for Stress and Strain
- Condiciones para la validez del método de superposición
  - Cada efecto está linealmente relacionado con la carga que lo produce
  - Las cargas no crean una condición que afecta el resultado de las otras cargas
  - Las deformaciones resultantes de las cargas son pequeñas



## Deflexión de Vigas por Superposición (Cont.)

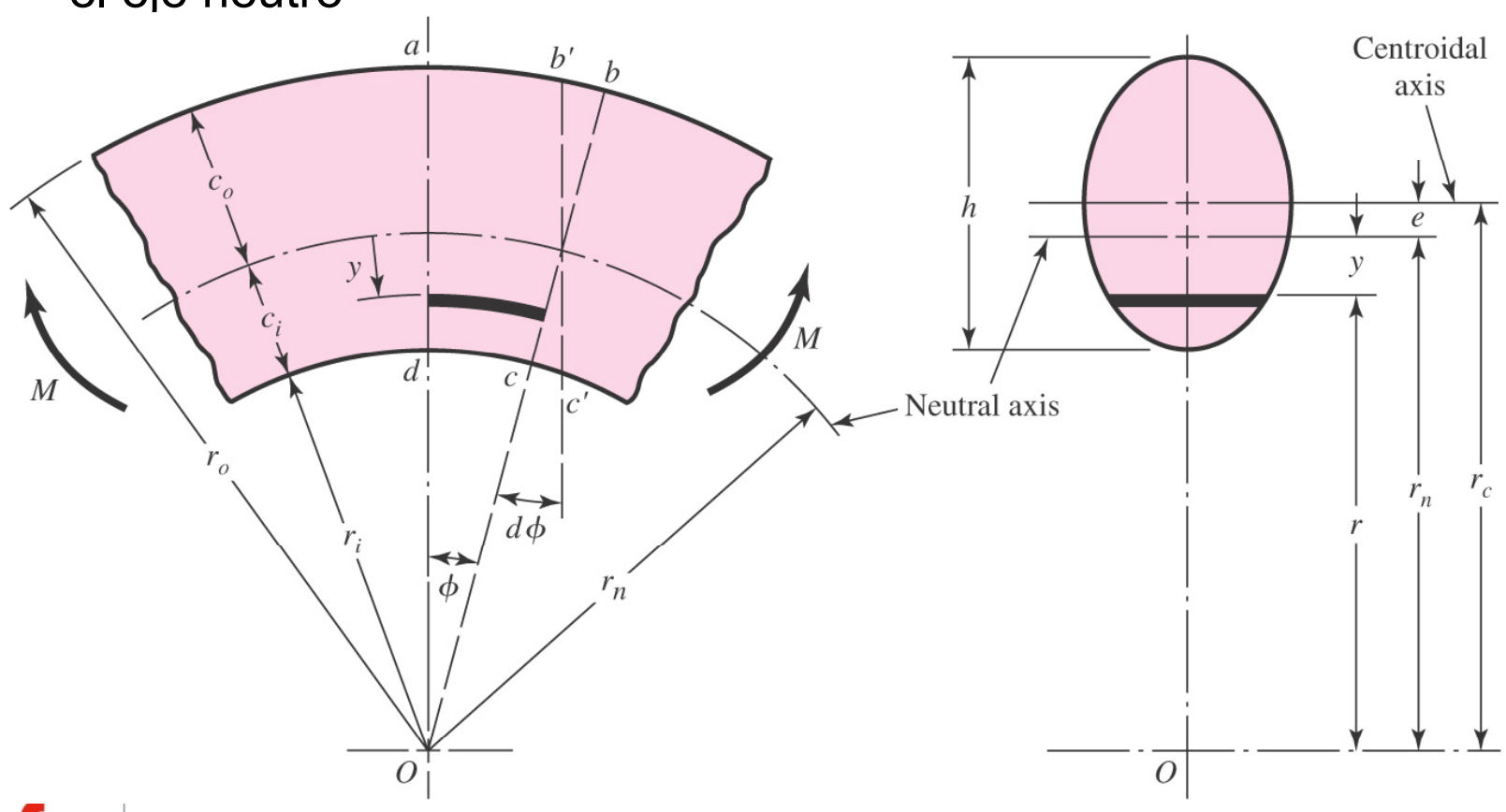




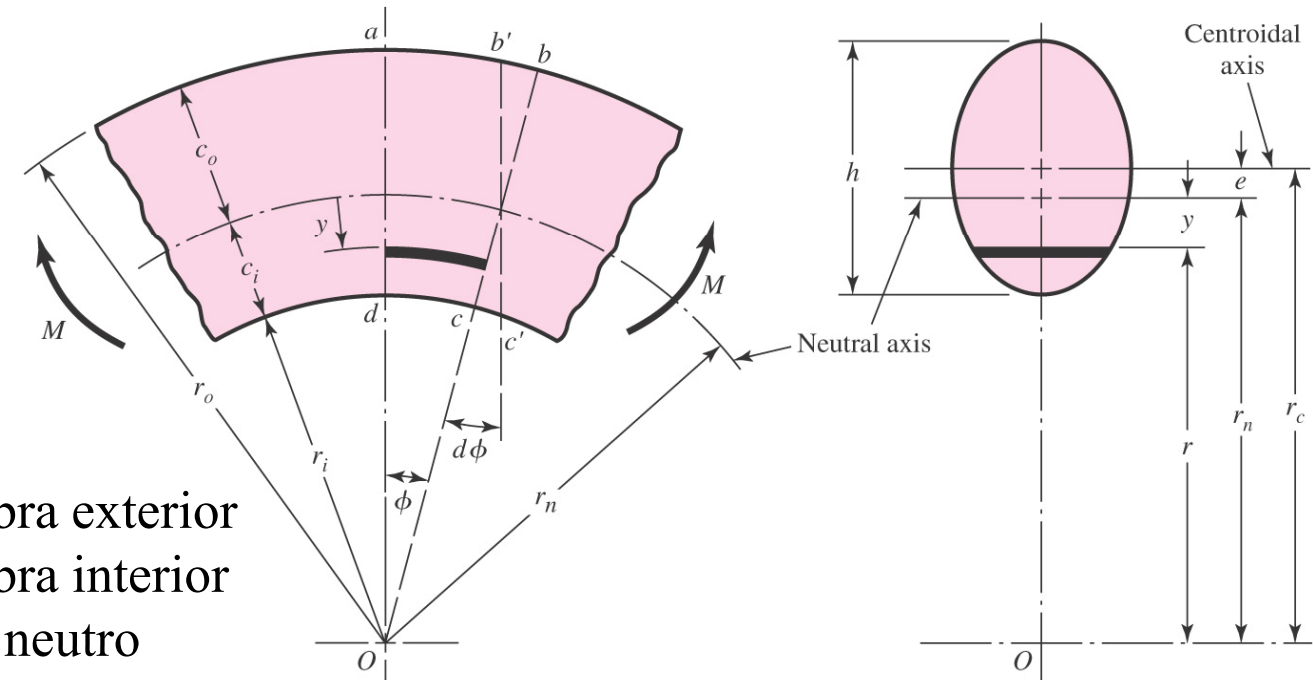


## **Vigas Curvas**

- En vigas curvas gruesas
  - El eje neutro y el eje centroidal no coinciden
  - El esfuerzo de flexión no varía linealmente con la distancia desde el eje neutro



#### **Vigas Curvas (Cont.)**



 $r_o$  = radio de la fibra exterior

 $r_i$  = radio de la fibra interior

 $r_n$  = radio del eje neutro

 $r_c$  = radio del eje centroidal

h = altura de la sección

 $c_o$ = distancia desde el eje neutro a la fibra externa

 $c_i$  = distancia desde el eje neutro a la fibra interna

e =distancia desde el eje centroidal al eje neutro  $= r_c - r_n$ 

M =momento flector



#### **Vigas Curvas (Cont.)**

Ubicación del eje neutro

$$r_n = \frac{A}{\int \frac{dA}{r}}$$

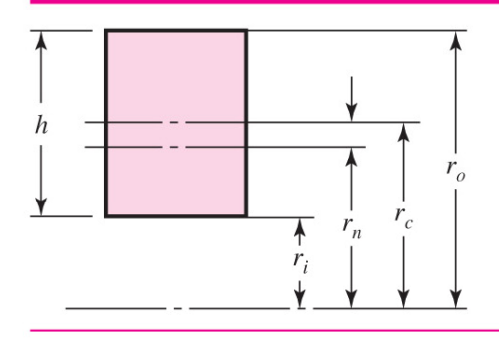
Distribución del esfuerzo

$$\sigma = \frac{My}{Ae(r_n - y)}$$

Esfuerzo en las superficies interna y externa

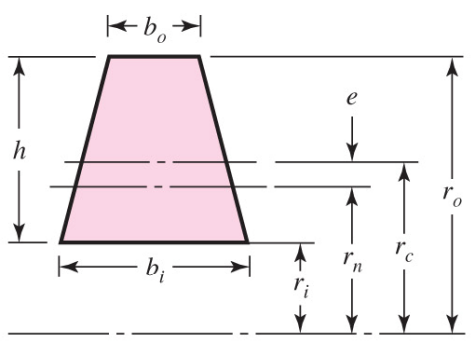
$$\sigma_i = \frac{Mc_i}{Aer_i} \qquad \sigma_o = -\frac{Mc_o}{Aer_o}$$

## Fórmulas para Secciones de Vigas Curvas



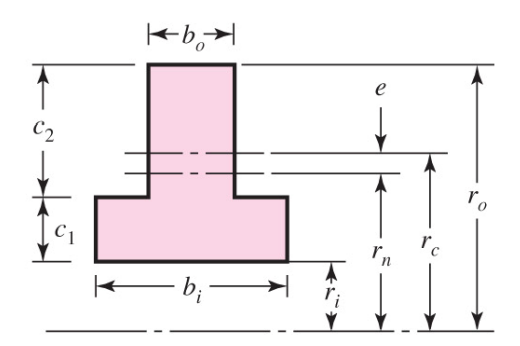
$$r_c = r_i + \frac{h}{2}$$

$$r_n = \frac{h}{\ln\left(r_o/r_i\right)}$$



$$r_c = r_i + \frac{h}{3} \frac{b_i + 2b_o}{b_i + b_o}$$

$$r_n = \frac{A}{b_o - b_i + [(b_i r_o - b_o r_i)/h] \ln(r_o/r_i)}$$

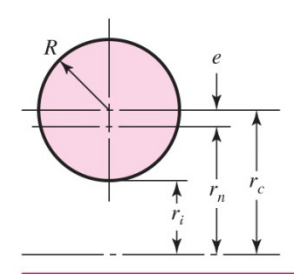


$$r_c = r_i + \frac{b_i c_1^2 + 2b_o c_1 c_2 + b_o c_2^2}{2(b_o c_2 + b_i c_1)}$$

$$r_n = \frac{b_i c_1 + b_o c_2}{b_i \ln[(r_i + c_1)/r_i)] + b_o \ln[r_o/(r_i + c_1)]}$$

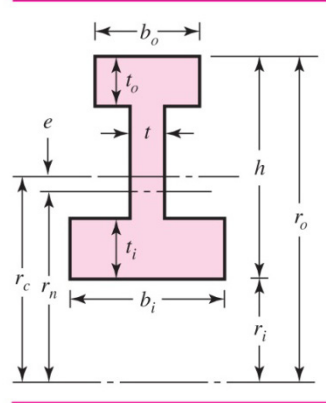


## Fórmulas para Secciones de Vigas Curvas



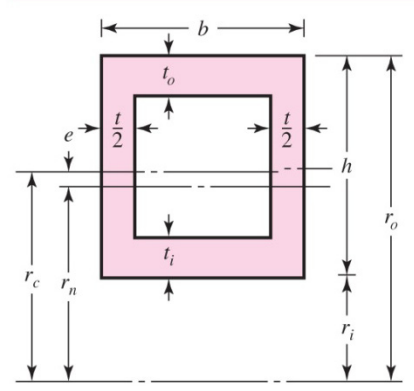
$$r_c = r_i + R$$

$$r_n = \frac{R^2}{2\left(r_c - \sqrt{r_c^2 - R^2}\right)}$$



$$r_c = r_i + \frac{\frac{1}{2}h^2t + \frac{1}{2}t_i^2(b_i - t) + t_o(b_o - t)(h - t_o/2)}{t_i(b_i - t) + t_o(b_o - t) + ht}$$

$$r_n = \frac{t_i(b_i - t) + t_o(b_o - t) + ht_o}{b_i \ln \frac{r_i + t}{r_i} + t \ln \frac{r_o - t_o}{r_i + t_i} + b_o \ln \frac{r_o}{r_o - t_o}}$$

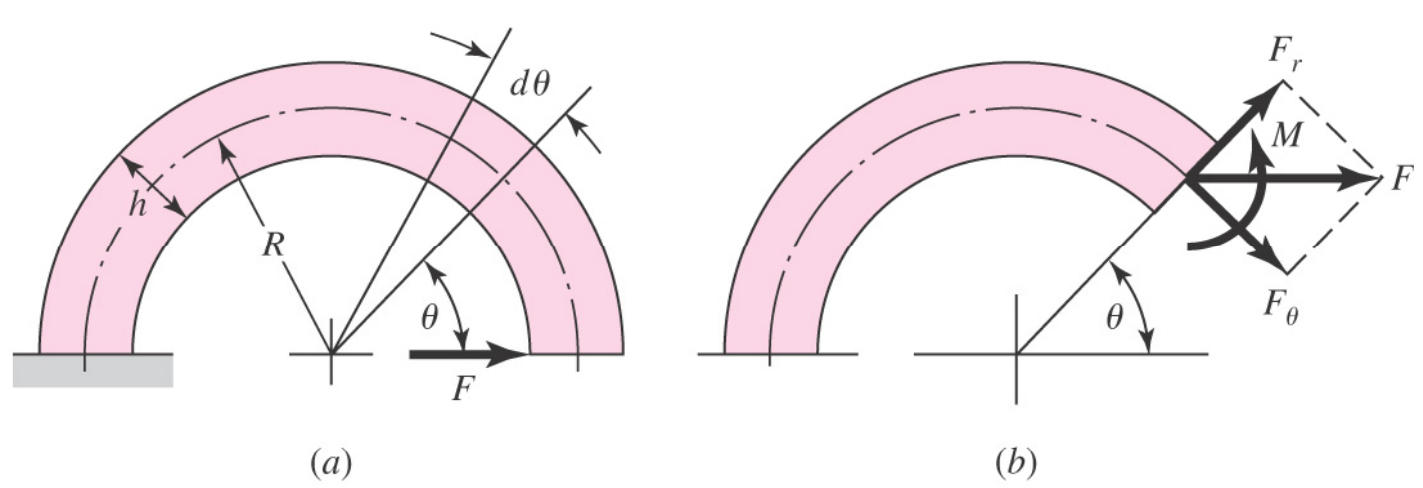


$$r_c = r_i + \frac{\frac{1}{2}h^2t + \frac{1}{2}t_i^2(b-t) + t_o(b-t)(h-t_o/2)}{ht + (b-t)(t_i + t_o)}$$

$$r_n = \frac{(b-t)(t_i + t_o) + ht}{b\left(\ln\frac{r_i + t_i}{r_i} + \ln\frac{r_o}{r_o - t_o}\right) + t\ln\frac{r_o - t_o}{r_i + t_i}}$$

#### **Deflexión de Elementos Curvos**

- Caso viga curva gruesa en flexión
- Energía de deformación asociada a
  - Momento flector M
  - Fuerza axial F<sub>θ</sub>
  - Momento flector debido a F<sub>θ</sub>
  - Corte transversal F<sub>r</sub>



#### **Deflexión de Elementos Curvos (Cont.)**

Energía de deformación

$$U = \int \frac{M^2 d\theta}{2AeE} + \int \frac{F_{\theta}^2 R d\theta}{2AE} - \int \frac{M F_{\theta} d\theta}{AE} + \int \frac{C F_r^2 R d\theta}{2AG}$$

Deflexión por Teorema de Castigliano

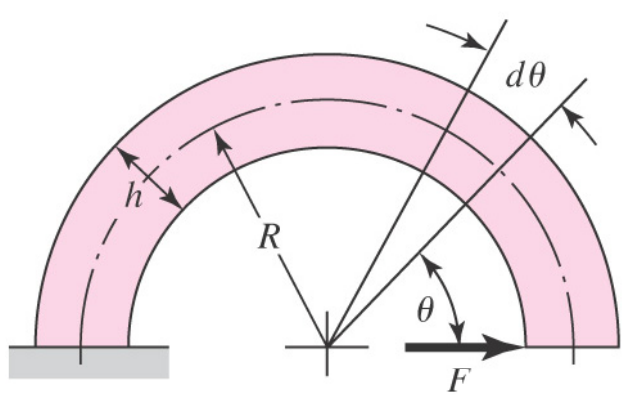
$$\delta = \frac{\partial U}{\partial F} = \int \frac{M}{AeE} \left( \frac{\partial M}{\partial F} \right) d\theta + \int \frac{F_{\theta}R}{AE} \left( \frac{\partial F_{\theta}}{\partial F} \right) d\theta$$
$$- \int \frac{1}{AE} \frac{\partial (MF_{\theta})}{\partial F} d\theta + \int \frac{CF_{r}R}{AG} \left( \frac{\partial F_{r}}{\partial F} \right) d\theta$$

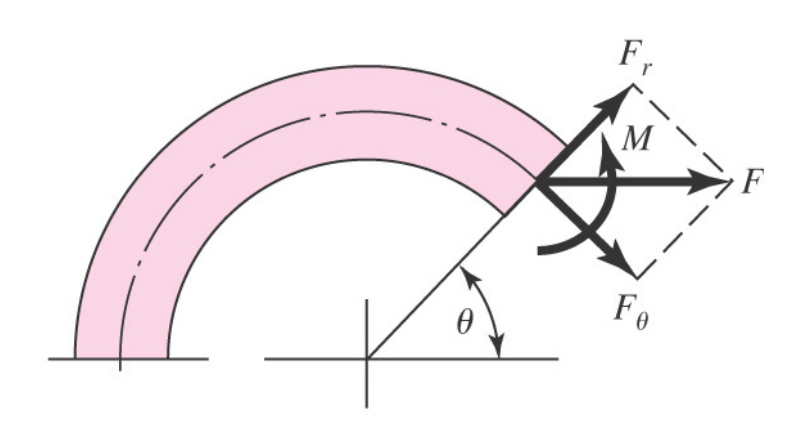
 Método general para cualquier elemento curvo grueso. Usar límites de integración apropiados

#### **Deflexión de Elementos Curvos (Cont.)**

• Para el problema de la figura, se obtiene

$$M = FR \sin \theta$$
  $\frac{\partial M}{\partial F} = R \sin \theta$   $F_{\theta} = F \sin \theta$   $\frac{\partial F_{\theta}}{\partial F} = \sin \theta$   $\frac{\partial (MF_{\theta})}{\partial F} = 2FR \sin^2 \theta$   $\frac{\partial (MF_{\theta})}{\partial F} = 2FR \sin^2 \theta$   $\frac{\partial F_r}{\partial F} = \cos \theta$ 



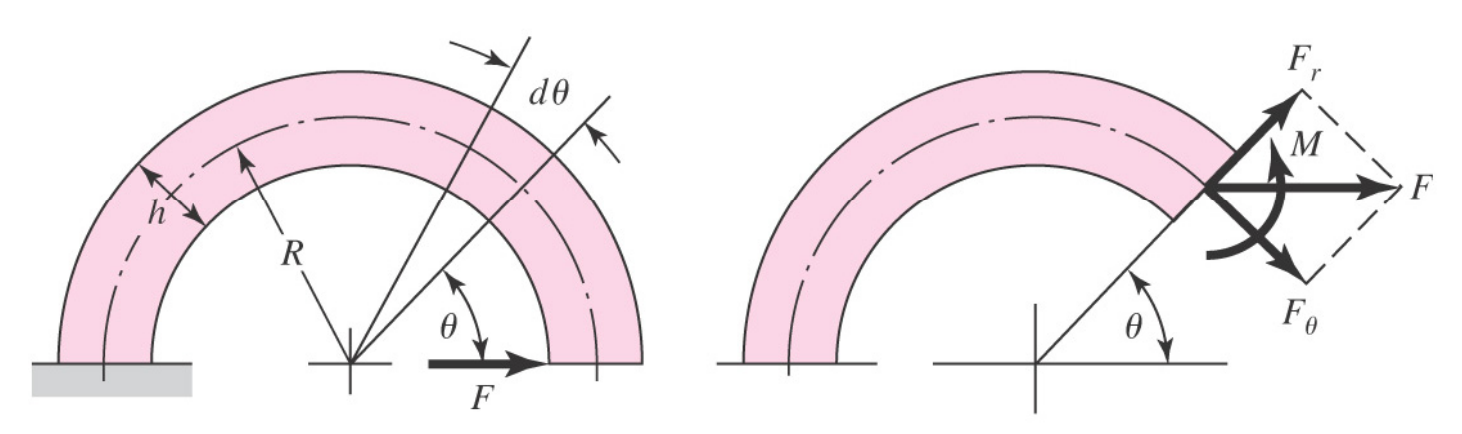


#### **Deflexión de Elementos Curvos (Cont.)**

Substituyendo y factorizando

$$\delta = \frac{FR^2}{AeE} \int_0^{\pi} \sin^2 \theta \, d\theta + \frac{FR}{AE} \int_0^{\pi} \sin^2 \theta \, d\theta - \frac{2FR}{AE} \int_0^{\pi} \sin^2 \theta \, d\theta$$
$$+ \frac{CFR}{AG} \int_0^{\pi} \cos^2 \theta \, d\theta$$

$$=\frac{\pi FR^2}{2AeE}+\frac{\pi FR}{2AE}-\frac{\pi FR}{AE}+\frac{\pi CFR}{2AG}=\frac{\pi FR^2}{2AeE}-\frac{\pi FR}{2AE}+\frac{\pi CFR}{2AG}$$



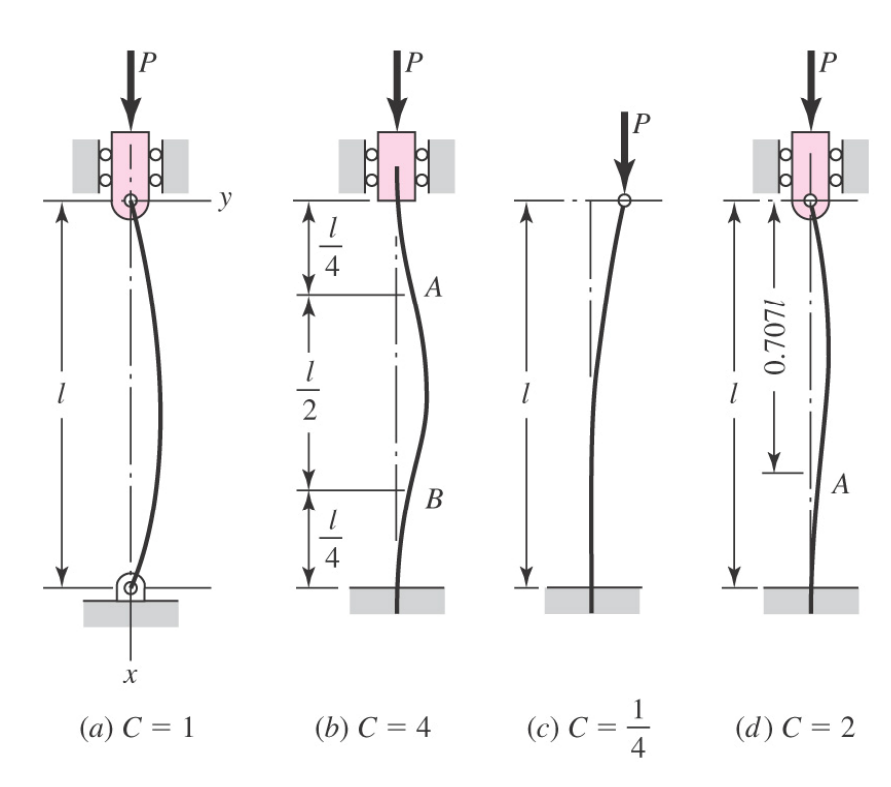
#### **Elementos Sometidos a Compresión**

- Columna Elemento cargado en compresión tal que por efecto de su longitud o carga axial, se produce más que una simple compresión (e.g., pandeo)
- Categorías de columnas
  - Columnas largas con carga centrada
  - Columnas de longitud intermedia con carga centrada
  - Columnas con carga excéntrica
  - Puntales o columnas cortas con carga excéntrica



#### **Columnas Largas con Carga Centrada**

- Cuando P alcanza la carga crítica, la columna se comporta inestable originándose flexión rápidamente
- La carga crítica depende de las condiciones de conexión en los extremos



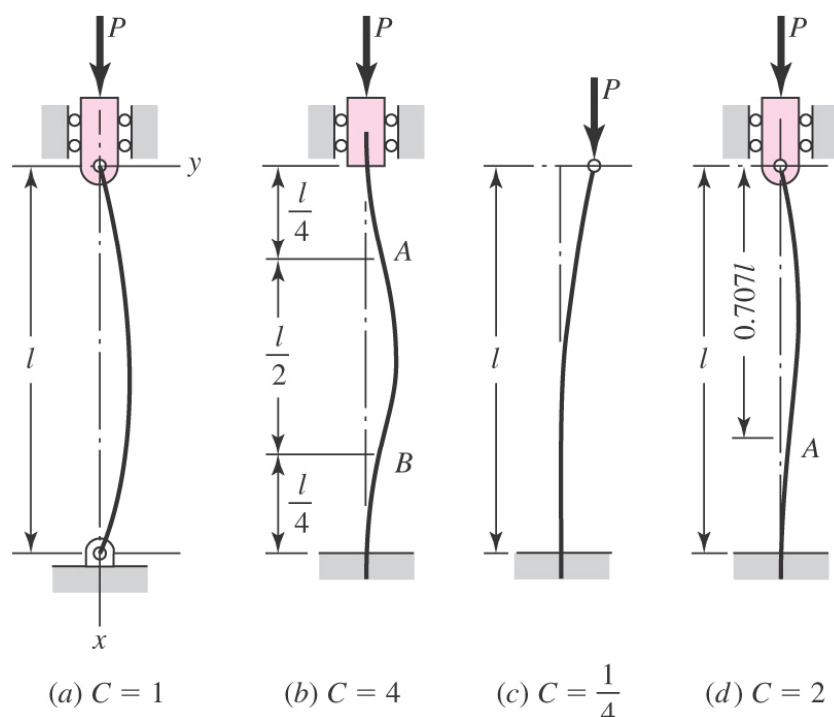


 En columnas con conexiones rotuladas, la carga crítica está dada por la fórmula de columna de Euler

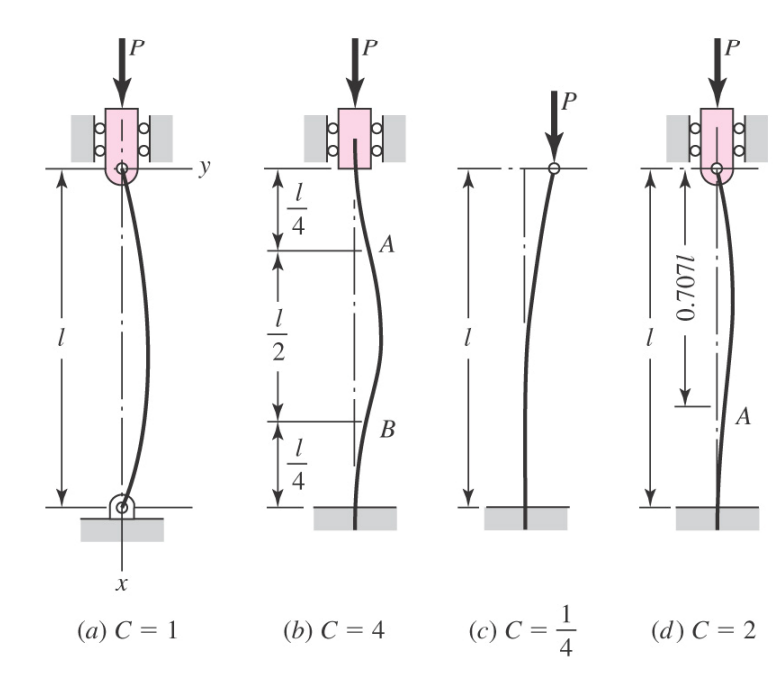
$$P_{\rm cr} = \frac{\pi^2 E I}{l^2}$$

 Para otras condiciones de conexión

$$P_{\rm cr} = \frac{C\pi^2 EI}{l^2}$$



- Conexiones fijas son difíciles de obtener en la práctica
- Usualmente se usan valores más conservativos (valores recomendados) para C



	End-Condition Constant C		
Column End Conditions	Theoretical Value	Conservative Value	Recommended Value*
Fixed-free	$\frac{1}{4}$	$\frac{1}{4}$	$\frac{1}{4}$
Rounded-rounded	1	1	1
Fixed-rounded	2	1	1.2
Fixed-fixed	4	1	1.2

<sup>\*</sup>To be used only with liberal factors of safety when the column load is accurately known.

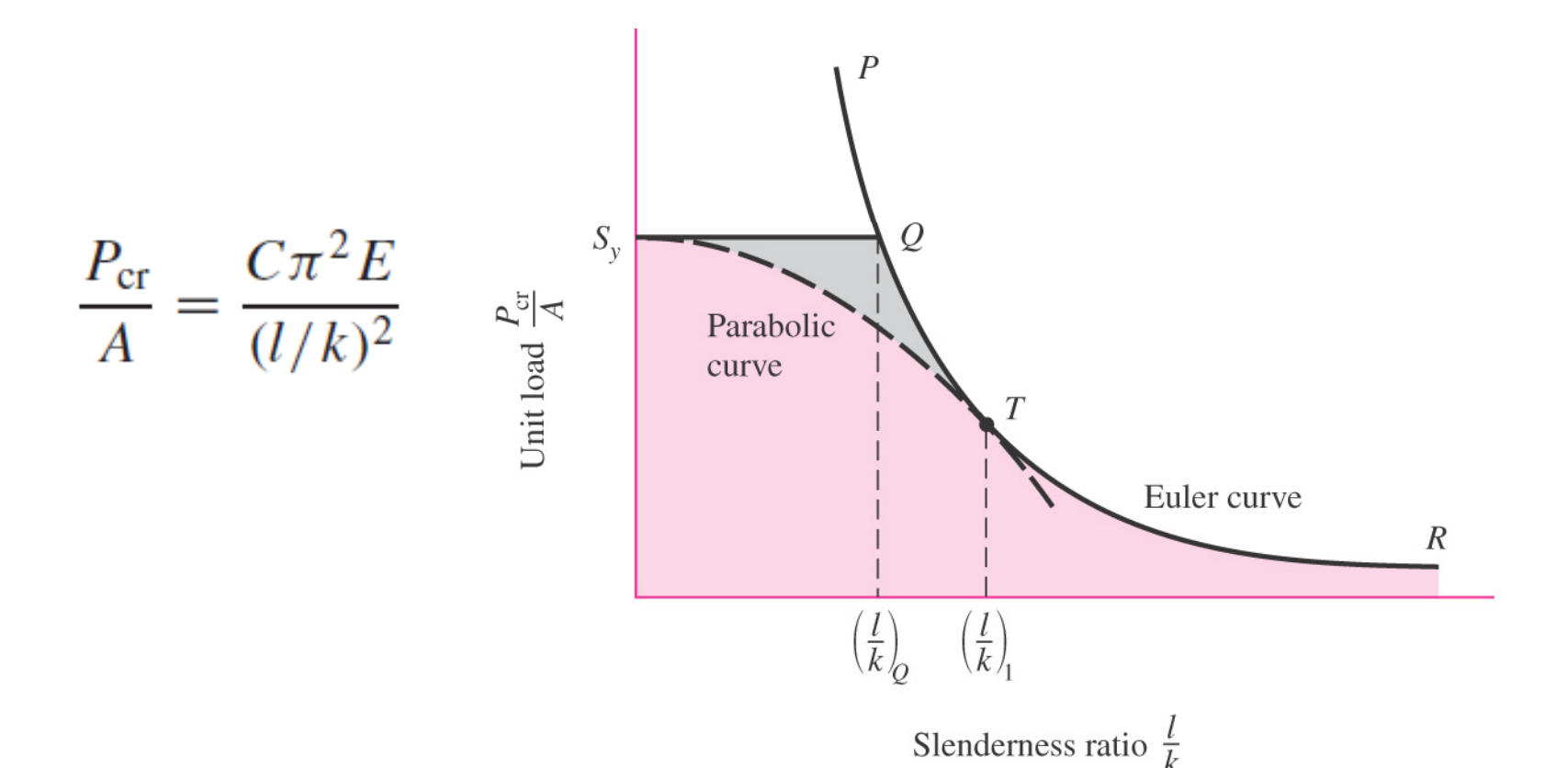


 Usando I = Ak², donde A es el área seccional y k es el radio de giro, la fórmula para la columna de Euler puede expresarse como

$$\frac{P_{\rm cr}}{A} = \frac{C\pi^2 E}{(l/k)^2}$$

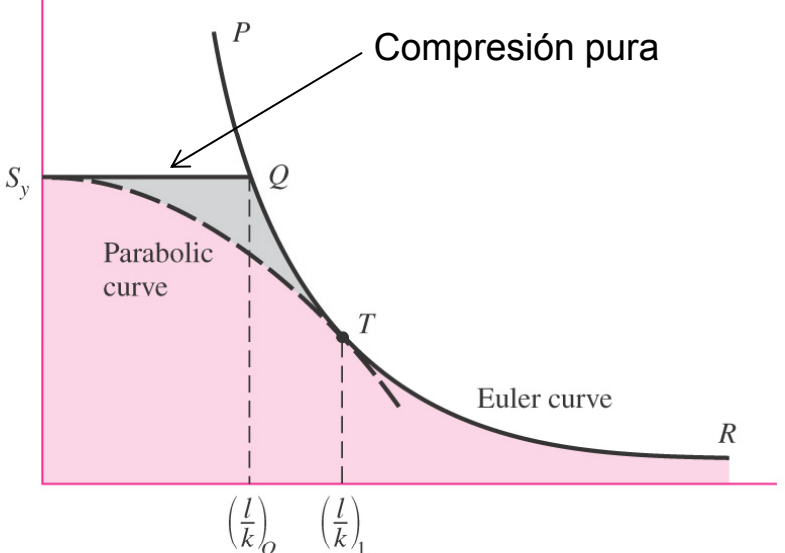
- I/k es la razón de esbeltez usada para clasificar columnas de acuerdo al largo de ellas
- P<sub>cr</sub>/A es la carga crítica unitaria definida como la carga por unidad de área necesaria para colocar a la columna en una condición de equilibrio inestable

• Ploteando  $P_{cr}/A$  vs I/k, con C = 1 se obtiene la curva PQR



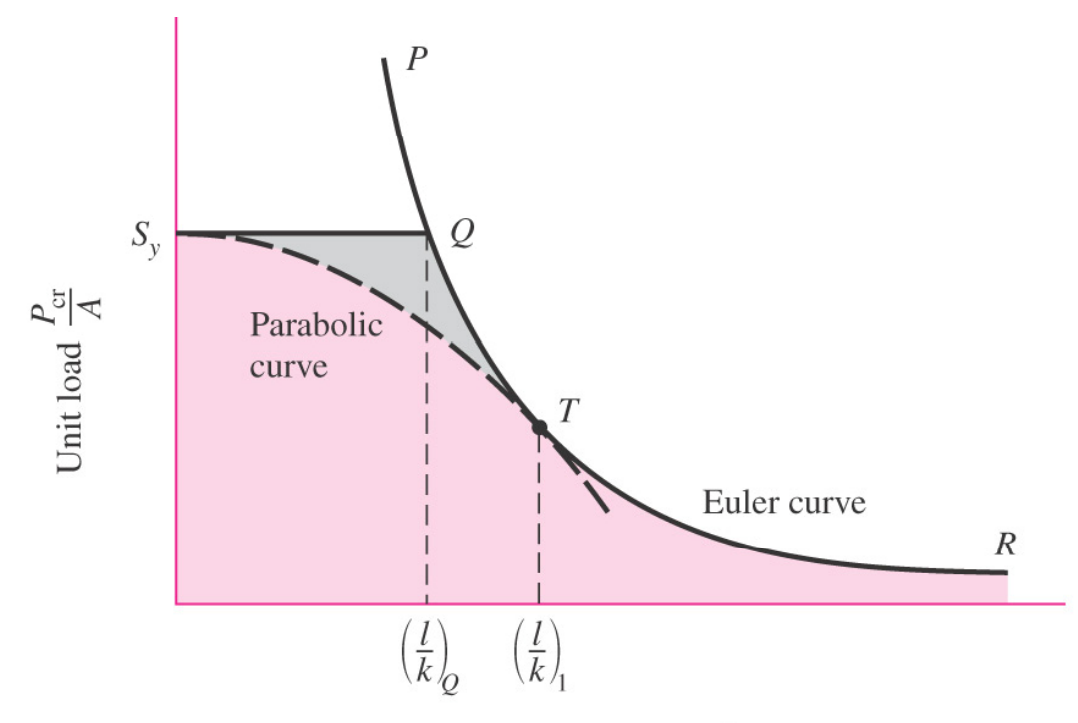
- Ensayos demuestran numerosas fallas en la vecindad del punto Q (zona color plomo)
- Como el pandeo es repentino y catastrófico, se desea un procedimiento más conservativo cercano a Q
- El punto T es típicamente definido tal que  $P_{cr}/A = S_y/2$ , lo que da

$$\left(\frac{l}{k}\right)_1 = \left(\frac{2\pi^2 CE}{S_y}\right)^{1/2}$$



Slenderness ratio  $\frac{l}{k}$ Deflexión y Rigidez

- Para  $(l/k) > (l/k)_1$ , usar la fórmula de Euler
- Para  $(l/k) \le (l/k)_1$ , usar la curva parabólica entre  $S_v$  y T



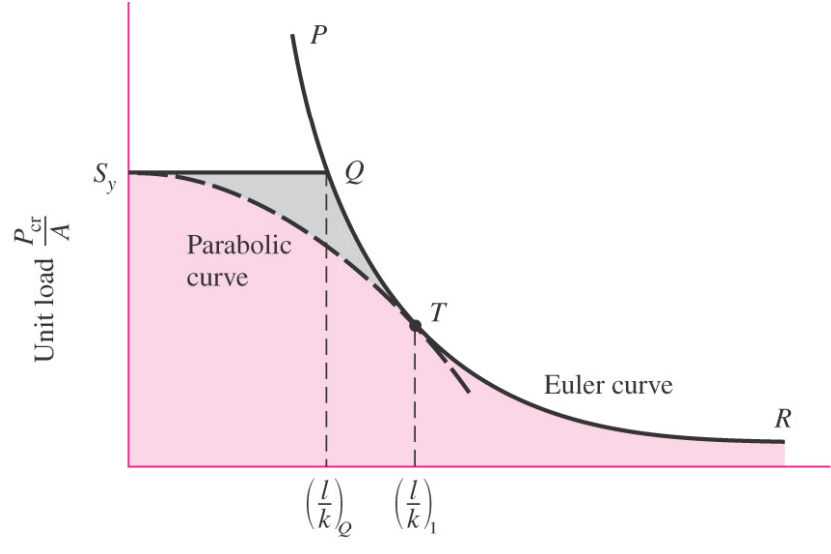




#### Columnas Long. Intermedia Carga Centrada

- Para columnas de longitud intermedia, donde  $(l/k) > (l/k)_1$ , usar la curva parabólica entre  $S_y$  y T
- La fórmula parabólica (J.B. Johnson) está dada por

$$\frac{P_{\rm cr}}{A} = S_y - \left(\frac{S_y}{2\pi} \frac{l}{k}\right)^2 \frac{1}{CE} \qquad \frac{l}{k} \le \left(\frac{l}{k}\right)_1$$



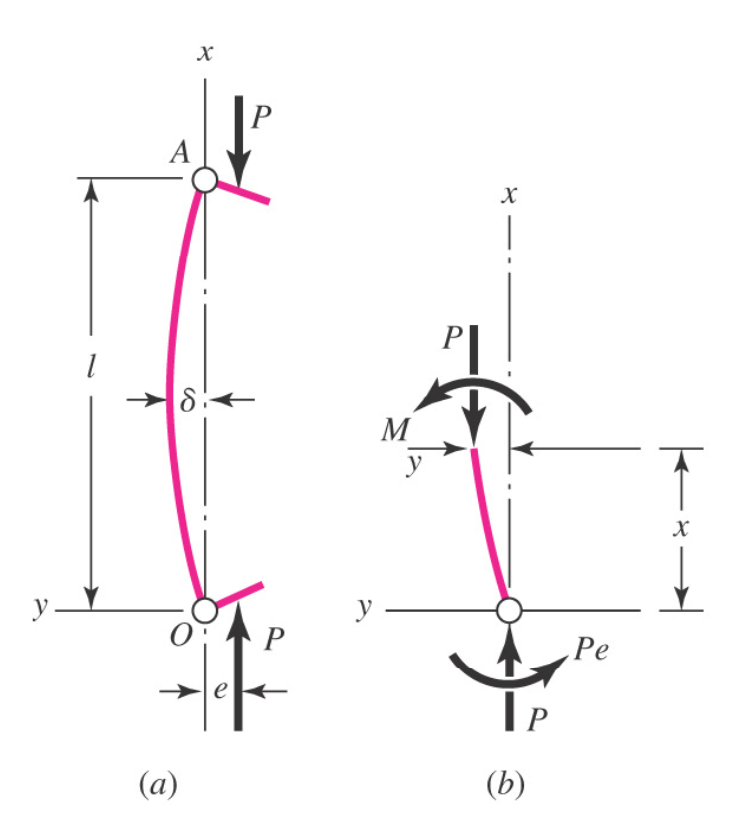


## **Columnas con Carga Excéntrica**

• En la mitad de la columna, donde x = 1/2

$$\delta = e \left[ \sec \left( \sqrt{\frac{P}{EI}} \, \frac{l}{2} \right) - 1 \right]$$

$$M_{\text{max}} = P(e + \delta) = Pe \sec\left(\frac{l}{2}\sqrt{\frac{P}{EI}}\right)$$



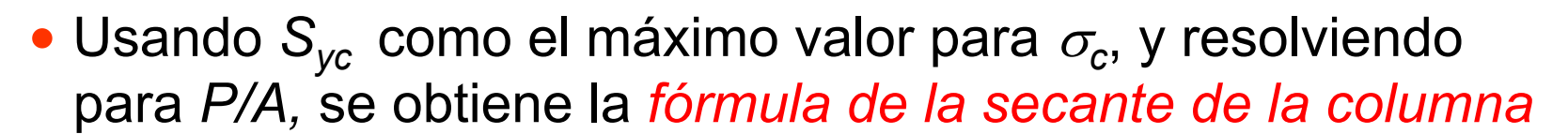
# Columnas con Carga Excéntrica (Cont.)

 El esfuerzo de compresión máximo incluye componente axial y de momento

$$\sigma_c = \frac{P}{A} + \frac{Mc}{I} = \frac{P}{A} + \frac{Mc}{Ak^2}$$

Substituyendo M<sub>max</sub>

$$\sigma_c = \frac{P}{A} \left[ 1 + \frac{ec}{k^2} \sec\left(\frac{l}{2k} \sqrt{\frac{P}{EA}}\right) \right]$$



$$\frac{P}{A} = \frac{S_{yc}}{1 + (ec/k^2) \sec[(l/2k)\sqrt{P/AE}]}$$

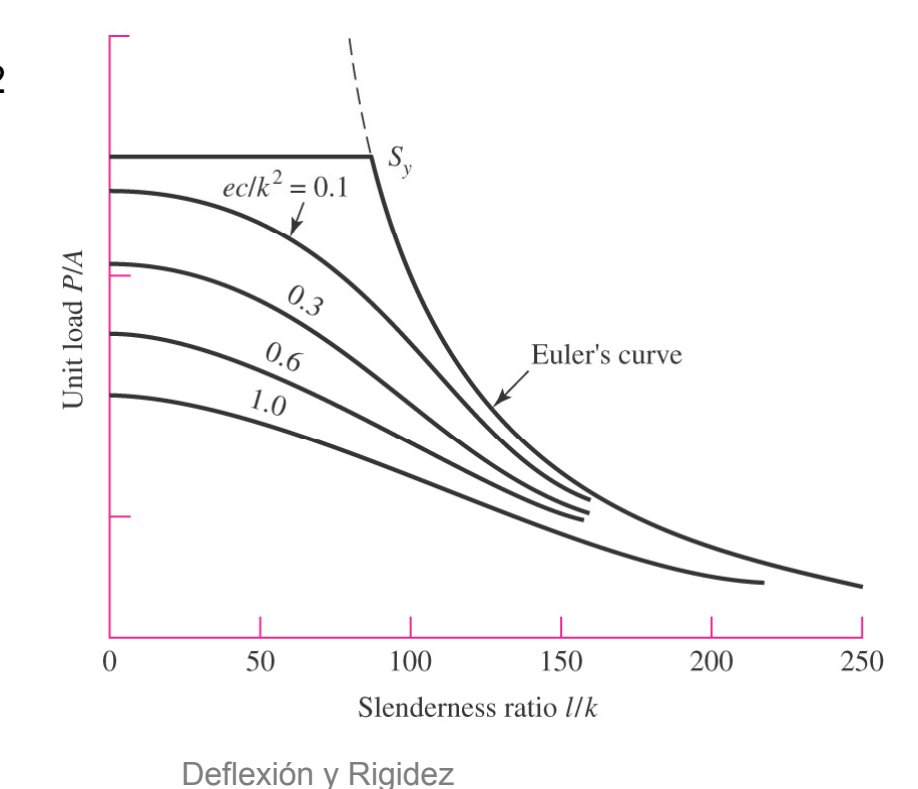


## Columnas con Carga Excéntrica (Cont.)

• Fórmula de la secante de la columna

$$\frac{P}{A} = \frac{S_{yc}}{1 + (ec/k^2) \sec[(l/2k)\sqrt{P/AE}]}$$

- ec/k² es la razón de excentricidad
- Ploteando para varios ec/k²





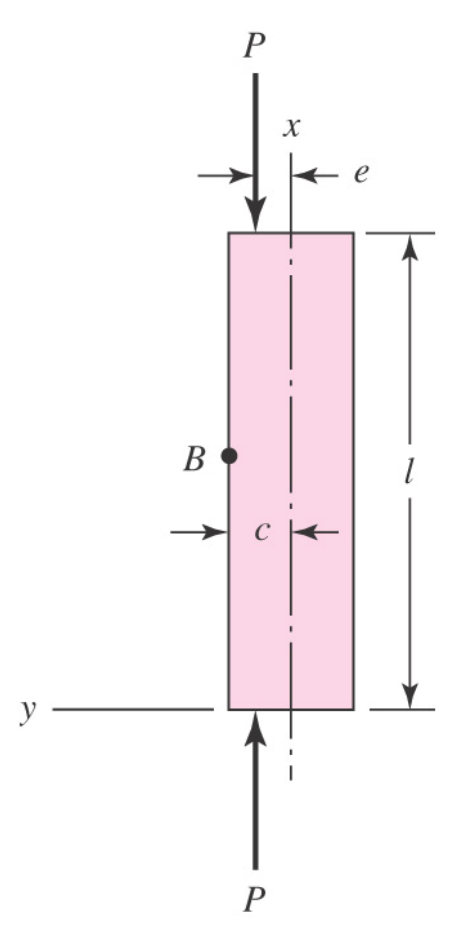
## **Elementos Cortos Sometidos a Compresión**

- Puntal elemento corto sometido a compresión
- Si existe excentricidad, el esfuerzo máximo está en B con compresión y flexión

$$\sigma_c = \frac{P}{A} + \frac{Mc}{I} = \frac{P}{A} + \frac{PecA}{IA} = \frac{P}{A} \left( 1 + \frac{ec}{k^2} \right)$$

- Ecuación anterior no es función de la altura
- Difiere de la ecuación de la secante en que asume pequeños efectos de la deflexión por flexión
- Si la deflexión por flexión se limita a 1% de la excentricidad, entonces la relación de esbeltez límite para un puntal es

$$\left(\frac{l}{k}\right)_2 = 0.282 \left(\frac{AE}{P}\right)^{1/2}$$





#### Estabilidad Elástica

- Inestabilidad debida a pandeo está presente en elementos que son
  - Cargados en compresión (directamente o indirectamente)
  - Largos o delgados
  - No arriostrados
- La inestabilidad puede ser
  - Local o global
  - Elástica o plástica
  - Por flexión o torsión

